



## شواهد بافتی وجود شرایط دینامیکی در حین و پس از تبلور گناییس‌های دیناموماگماتیک قلعه‌دژ، ازنا

ناهید شبانیان بروجنی<sup>\*</sup>، علیرضا داوودیان دهکردی<sup>۱</sup>، محمود خلیلی<sup>۲</sup>، مهناز خدامی<sup>۳</sup>

۱- دانشکده منابع طبیعی و علوم زمین، دانشگاه شهرکرد

۲- گروه زمین‌شناسی، دانشکده علوم، دانشگاه اصفهان

۳- گروه زمین‌شناسی، دانشگاه آزاد اسلامی واحد محلات

(دریافت مقاله: ۸۸/۷/۱، نسخه نهایی: ۸۹/۲/۱)

**چکیده:** گناییس‌های دیناموماگماتیک ازنا دارای بافت میلوبنیتی بوده و با پورفیروکلاست‌های چرخیده بزرگ یا چشم‌های فلدسپات مشخص می‌شوند که در پیرامون آنها یک زمینه‌ی ریز تا متوسط دانه شکل‌پذیرتر از میکای سفید (مسکوویت فنریتی)، بیوتیت، کوارتز و فلدسپات خم برداشته و ساختار هسته-پوشش را ایجاد کرده‌اند. فلدسپات‌ها هر دو رفتار شکننده و شکل‌پذیر را نشان می‌دهند. شواهد تغییر‌شکل نظیر ماکل‌های دگرشکلی، ماکل‌های خمیده، خاموشی موجی، نوارهای دگرشکل و شکنجی در پلازیوکلازها دیده می‌شوند و نشان‌دهنده‌ی دگرشکلی در حالت جامد هستند. دگرشکلی کوارتز در گناییس‌های دیناموماگماتیک عموماً منجر به ایجاد ساختار هسته-پوشش و نیز نوارهای کوارتزی شده که حاصل مجموعه‌های کوارتز تجدید تبلور یافته و کشیده و سمت یافته‌اند که بیانگر تبلور دوباره‌ی دینامیکی است. میکاها غالباً به موازات و یا تقریباً موازی با نوارهای کوارتز کشیده شده‌اند و برگوارگی سنگ را نشان می‌دهند. این بافت‌ها معرف دگرشکلی دینامیکی در حین تبلور و پس از آنند.

**واژه‌های کلیدی:** گناییس دیناموماگماتیک، ساختار هسته-پوشش، دگرشکلی، ازنا.

### سیلیسی وابسته به یک پوسته‌ی فوکانی که مذاب حاصل در

### مقدمه

یک محیط دینامیکی در حال همگن شدن باشد [۲].

وجود گناییس‌های کوارتز و فلدسپاتی در پوسته‌ی بلورین قاره‌ای تقریباً عادی بوده و این سنگ‌ها به صورت توده‌های بزرگ همگن (Homogenous) ارتوگنایس [۲، ۱] و یا به صورت میگماتیت‌هایی با بخش‌هایی از گناییس نسبتاً همگن دیده می‌شوند.

- آناتکسی بخشی سنگ‌های گرانیتی ماجمایی غیرگناییسی یا

گناییس گرانیتی تقریباً همگن، می‌تواند در حضور و یا در غیاب مذاب تشکیل شود. مذاب، حداقل در چهار حالت زیر می‌تواند وجود داشته باشد:

گناییس گرانیتی بخشی گرانیتی میگماتیت تزریقی و یا میگماتیت تزریقی

- آناتکسی در یک محیط دینامیکی.

- دگرشکلی مرحله‌ی پایانی سیستم ماجمایی گرانیتی در حال

تبلور [۶-۳].

\*نویسنده مسئول، تلفن: ۰۳۱۱۶۲۶۵۷۴، نامبر: ۹۱۳۳۱۸۰۲۴۲، پست الکترونیکی: nahid.shabani@gmail.com

### زمین‌شناسی منطقه

توده‌ی نفوذی قلعه دژ از نظر موقعیت زمین‌شناسی، در پهنه‌ی زمین‌ساختی سنتندج-سیرجان و در حدود ۱۵ کیلومتری شمال راندگی اصلی زاگرس قرار دارد. پلوتون قلعه دژ از لحاظ جغرافیایی در ۱۰ کیلومتری شمال‌غربی شهر ازنا و در گستره‌ی نقشه‌ی چهارگوش ۱:۲۵۰۰۰ زمین‌شناسی خرم‌آباد واقع شده است (شکل ۱) [۸].

پلوتون قلعه دژ فاقد آثار چشمگیری از دگرگونی مجاورتی است که این یکی از شواهد وابسته به توده‌های نفوذی همزمان با زمین‌ساختی است [۹] و با سنگ‌های دگرگون ناحیه‌ای همچون شیست، آمفیبولیت، کوارتزیت و مرمرها در برگرفته شده‌اند (شکل ۲). این توده‌ی نفوذی تحت تاثیر یک رژیم دگرشکلی دینامیکی تشکیل شده است. عناصر ساختاری L و LS در این توده‌ی نفوذی به خوبی مشاهده می‌شود و آثار برش راست‌گرد در این پلوتون قابل تشخیص است [۱۰]. از دیدگاه رئوژیمیابی، این توده دارای مشخصات گرانیتوئیدهای نوع A2 است که در محیط پس از کوهزایی و احتمالاً در فضاهای کششی در راستای گسل‌های راستا لغز جایگیر شده است [۱۱].

### کانی‌شناسی

پلوتون قلعه دژ از لحاظ کانی‌شناسی تنوع نسبتاً اندکی دارد و بخش بزرگ آنها را کانی‌های کوارتز، فلدسپات (فلدسپات قلیایی، پلاژیوکلاز و پرتیت) تشکیل می‌دهد. برگواره‌ی اصلی این سنگ‌ها را کانی‌های بیوتیت و موسکوویت فنزیتی (که با رنگ سبز کم رنگ قابل شناسایی اند) تشکیل می‌دهد. از کانی‌های عارضه‌ای می‌توان به تورمالین، زیرکن، اپیدوت، آلانیت، اسفن و مگنتیت اشاره کرد.

بافت اصلی این سنگ‌ها لیپیدوگرانوبلاستیک است که بیانگر ماهیت دگرگونی و ماقمایی بودن این سنگ‌هاست. از طرف دیگر در این سنگ‌ها بافت S-C (شکل ۲-ب) به موازات راستای برش<sup>۸</sup> مشاهده می‌شود که دال بر سیر تدریجی دگرشکلی از ماقماتیسم به حالت جامد است [۱۲]. علاوه بر آن بافت میلونیتی در این سنگ‌ها قابل رویت است که بر اساس نسبت پورفیر به ماتریکس از الترامیلونیت تا پروتومیلونیت متغیر است.

8 - Shear sense

گنایس تقریباً همگن در اثر فرایندهای ماقمایی و دگرگونی در یک محیط دینامیکی طی مراحل انتهایی سالیدوس ماقما تشکیل می‌شود و بنابراین نام گنایس دیناموماقماتیک به آن داده می‌شود [۴].

دگرشکلی سیستم ماقما-بلور در شرایط نزدیک به سالیدوس<sup>۱</sup> رخ می‌دهد. دگرشکلی شکل‌پذیر<sup>۲</sup> (شکننده-شکل‌پذیر<sup>۳</sup>) در سیستم‌های پلوتونیک در مراحل پیشرفتی تبلور جایی بروز می‌کند که:

- فشار محبوس‌کننده نسبتاً بالا باشد
- دمایا بالای سالیدوس باشد
- دگرشکلی نافذ با سرعت تغییر شکل پایین وجود داشته باشد اگر در سیستمی حجم مذاب بیش از ۳۰٪ باشد، فشار وارده بر سیستم تاثیری بر اجزای متبول شده ندارد و تغییر شکل سبب حرکت مذاب و غوطه‌ورشدن بلورها می‌شود. در صورتی که اگر حجم مذاب در سیستم ماقما-بلور کمتر از ۳۰٪ باشد، جریان دگرشکلی روی بلورها آثار بافتی گذاشته و سبب توزیع دوباره ای جریان بین دانه‌ایی می‌شود [۷]. البته نسبت حجمی مذاب به بلور را ۲۰ تا ۴۰ درصد در نظر می‌گیرند تا ماهیت جریان بتواند از یک سیستم مذاب غالب (جریان تعلیقی<sup>۴</sup>، سیستم ماقمایی) به یک سیستم بلور غالب (جریان پشتیبانی شده<sup>۵</sup>، سیستم تقریباً ماقمایی<sup>۶</sup>) تغییر کند [۵].

چون دگرشکلی در حضور ساختارهای بلورین رخ می‌دهد، فرایندهای حالت جامد<sup>۷</sup> بایستی همزمان با مکان‌سازی دوباره‌ی جریان حاصل شوند. دمای بالا (نزدیک دمای سالیدوس) به همراه جریان (حتی اگر نسبت جریان به بلور کم باشد) سبب تاثیر ساز و کارهای دگرشکلی بلور پلاستیک و تبلور دوباره می‌شود، زیرا کانی‌های مختلف آستانه متفاوتی در برابر دگرشکلی دارند به طوری که رفتار شکل‌پذیر کوارتز را در برابر رفتار شکننده فلدسپات می‌بینیم.

در این مقاله سعی شده است تا با استفاده از شواهد بافتی، رابطه‌ی تبلور با حرکت دینامیکی را بدست آوریم.

1 - Solidus

2 - Ductile

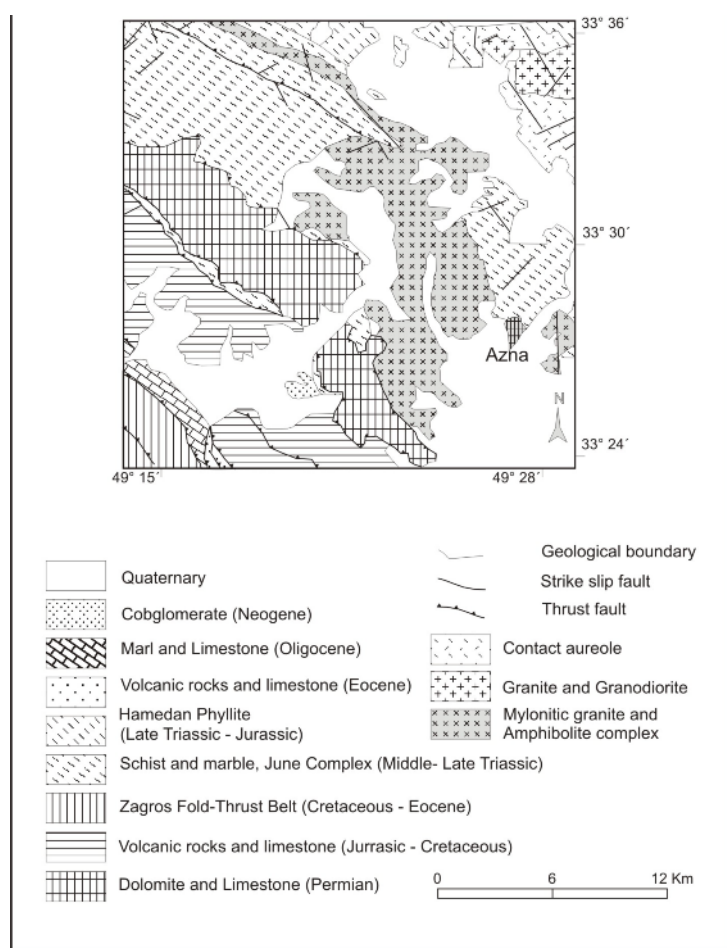
3 - Brittle- ductile

4 - Suspension

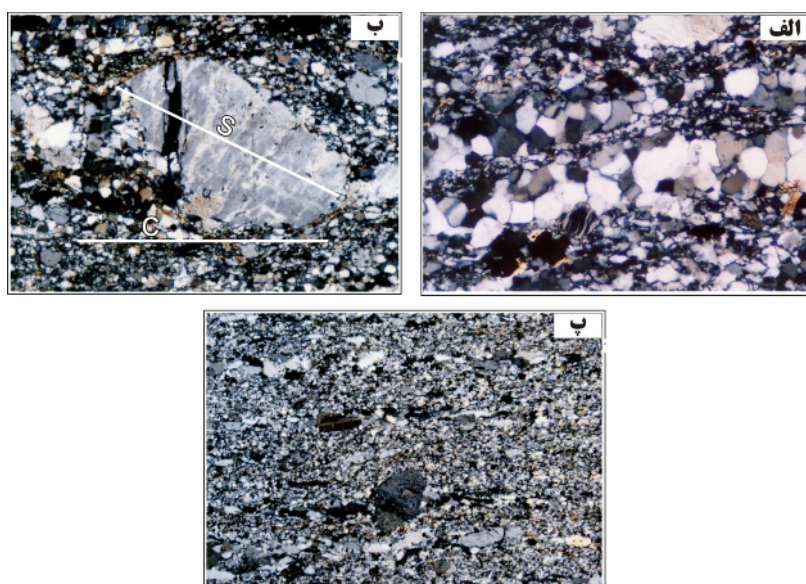
5 - Supported

6 - Submagmatic

7 - Solid- state



شکل ۱ نقشه‌ی ساده‌ی منطقه ازنا (اصلاح شده از مجله و همکاران، ۲۰۰۳) [۱۱].



شکل ۲ الف) در اثر تبلور دوباره‌ی چندضلعی‌های شکل دار از بلورهای کوارتز بوجود آمده‌اند. زاویه‌ی دو سطحی بین بلورهای کوارتز  $120^\circ$  است. پهنه‌ی دید یک میلی‌متر، تصویر در نور XPL. ب) چندضلعی‌های تجدید تبلور کوارتز در سایه‌های حاصل از فشار فلدسپات‌ها. پهنه‌ی دید ۲/۵ میلی‌متر. تصویر در نور XPL پ) در بخش پایینی تصویر بلورهای کوارتز تشکیل آگرگات‌هایی به موازات برگوارگی سنگ داده‌اند. سنگ یک الترامیلونیت با پورفیروکلاست‌های فلدسپات است. نور XPL، پهنه‌ی دید  $3/4$  میلی‌متر.

حین مهاجرت مرز دانه‌ای است. این مرز دانه‌ای سری‌ایت بین دانه‌های کوارتز و فلدسپات تشکیل می‌شود (شکل‌های ۳-الف و پ). عدم تشکیل چنین مرزی بین فلدسپات و بیوتیت می‌تواند بیانگر قابلیت موضعی بودن تغییر شکل فلدسپات باشد [۱۵]. تبلور دوباره‌ی دینامیکی پیرامون پورفیروکلاست‌ها در ساختار هسته-پوشش در اثر چرخش ریزدانه و مهاجرت مرز دانه‌ای به وجود می‌آید و نشان‌دهنده‌ی این است که تبلور دوباره همراه با جابه‌جایی خزشی رخ داده است. در پوشش‌ها، اندازه‌ی دانه‌ها متغیرند و از داخل به خارج پوشش کاهش می‌یابد که دلیلی است بر این که پوشش بر اثر چرخش ریزدانه ایجاد شده و از طرف دیگر افزایش میزان تغییر شکل با دور شدن از هسته را نشان می‌دهد [۱۳]. بطوری‌که ریزدانه‌ها در پوشش خارجی ممکن است تحت تاثیر بازتبلور همراه با جابه‌جایی خزشی قرار گیرد.

نبودن آثار دگرشکلی در داخل پورفیروکلاست‌ها (بجز پرتیت) نسبت به بخش خارجی بیان‌کننده تفاوت و ناهمگنی<sup>۴</sup> در عملکرد دگرشکلی است [۱۶]. محور بزرگ پورفیروکلاست‌ها غالباً موازی با برگوارگی اصلی سنگ است. پلاژیوکلازها به صورت پورفیروکلاست‌هایی هستند که از حاشیه تحلیل رفته و شکل بیضوی مانندی را به خود گرفته‌اند (شکل ۳-الف و ب). بیشتر پورفیروکلاست‌ها دارای ماکل پلی سنتیک با انتهای مخروطی، متقاطع و خمیده‌اند (شکل‌های ۳-ب و ۳-پ) که بر اساس ریخت‌شناسی<sup>۵</sup> ماکل، همه‌ی آنها مکانیکی هستند [۱۷-۱۹] و برخی از آنها دارای حالت پلکانی در ماکل پلی سنتیک هستند (شکل ۳-ت) که نشان‌دهنده‌ی لغزش ماکل<sup>۶</sup> [۱۶] و شرایط رخساره‌ی شیست سبزند [۱۴] است. ماکل آلبیت و پریکلین در مقاطع میکروسکوپی این سنگ‌ها قابل مشاهده است ولی غالب ماکل‌ها پلاژیوکلازها از نوع آلبیتی پیروی می‌کنند. بهر حال همراهی دو نوع ماکل آلبیتی و پریکلین به حالت مکانیکی آنها اشاره دارد ([۲۰-۲۱]). شکل ۳-ت). ماکل پریکلین فراوانی زیادی ندارد. برخی ماکل‌ها فقط در عرض و یا در لبه‌ی بلور دیده می‌شوند، در حالی که گروهی دیگر تمام بلور را در بر می‌گیرند (شکل ۳-ج).

### کانی‌های اصلی

**کوارتز:** کانی کوارتز به عنوان سازای اصلی این سنگ‌ها دارای اندازه‌ی نسبتاً متغیر است و در میکروسکوپ به یکی از چند حالت زیر مشاهده می‌شود: - به صورت نوارهای کوارتزی که شامل چندضلعی‌های شکل دار بلورهای کوارتز است که در اثر تبلور دوباره حاصل شده‌اند. این مجموعه بلور دارای زاویه دو سطحی ۱۲۰° است (شکل ۲-الف). بعضی از این دانه‌ها خاموشی موجی نشان می‌دهند که بیانگر مرحله‌ی اولیه تشکیل ریزدانه<sup>۱</sup> و ادامه‌ی دگرشکلی پس از تشکیل آنهاست [۱۳].

- به صورت چندضلعی‌های تجدید تبلور یافته کوارتز در سایه‌های حاصل از فشار فلدسپات‌ها (شکل ۲-ب). ابیوهه‌های کشیده و تجدید تبلور یافته و تقریباً سمت یافته‌ی کوارتز در چنین ساختارهایی معرف تبلور دوباره‌ی دینامیکی است که در

شرایط رخساره‌ی اپیدوت-آمفیبولیت حاصل می‌شود [۱۴].

- برخی از بلورها به صورت پورفیروکلاست‌های کوارتزی هستند که در اثر تنش وارده به شکل ریزدانه‌ایی با مرز دندانه‌دار در آمدده‌اند.

- گاهی دانه‌های کوارتز، شکستگی گوهای شکل پورفیروکلاست‌های فلدسپات را پر می‌کنند (شکل ۴-ث). - بلورهای کوارتز دارای کشیدگی به موازات برگواره‌ی اصلی سنگ هستند (شکل ۲-ج).

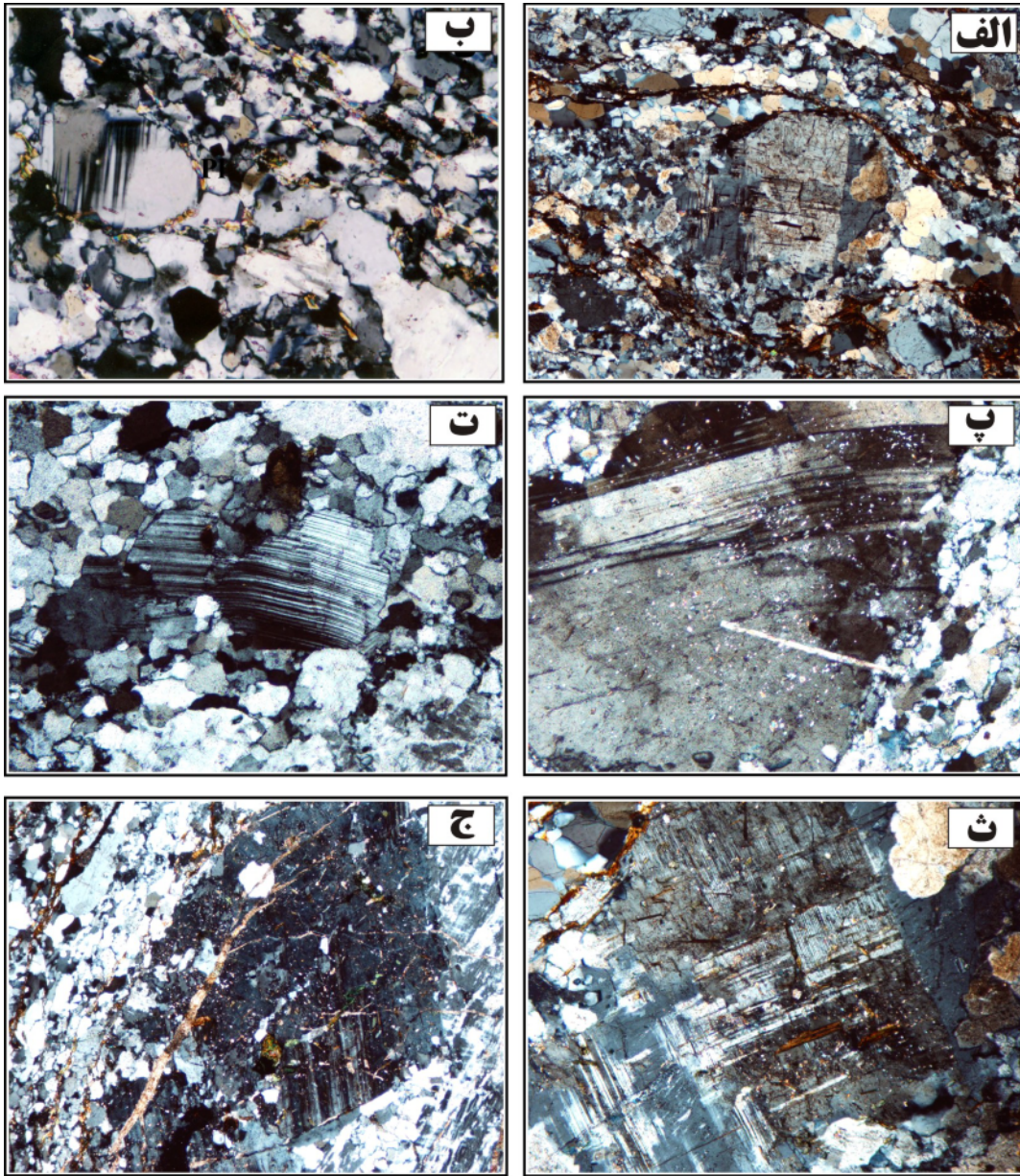
- گاهی دانه‌های کوارتز تشکیل لاملهای دگرشکلی را می‌دهد.  
**فلدسپات:** متدالوئرین شکل دگرشکلی در فلدسپات‌های مورد بررسی وجود یک حاشیه از دانه‌های دوباره متبولور شده در مرز دانه‌ایی است که یک ساختار هسته-پوشش<sup>۲</sup> را ایجاد می‌کند. این بافت در سنگ‌های شدیداً دگرشکل شده و تجدید تبلور یافته‌ای دیده می‌شود که پورفیروکلاست‌های بزرگ کوارتز و فلدسپات در پیرامون خود مقادیر زیادی ریزدانه و نودانه<sup>۳</sup> دارند. پورفیروکلاست‌ها در واقع باقیمانده‌هایی از کانی‌های مقاوم سنگ مادری هستند که تحت تاثیر دگرشکلی واقع شده‌اند. دانه‌های فلدسپات هسته اندازه بزرگتری از پوشش و دانه‌های پیرامون خود دارند. پهنای پوشش دوباره متبولور شده نسبت به قطر هسته خیلی کوچک است و هسته‌ها دارای مرزهایی تدریجی (سری‌ایت) هستند که دلیلی بر بازتبلور دینامیکی در

4 - heterogeneous  
5 - Morphology  
6 - Twin gliding

1 - Subgrain  
2 - core-and-mantle structure  
3 - Neograin

بلورهای درشت فلدسپات‌های قلیایی در نمونه‌ی دستی با اندازه متجاوز از یک سانتیمتر نمایی چشم مانند یا چشمی به سنگ بخشیده‌اند. در زیر میکروسکوپ، بلورهای این کانی به صورت پورفیروکلاست با اندازه‌ی متغیر که همه‌ی آنها به صورت پرتیت هستند، قابل رویت‌اند.

باندهای دگرشکلی و خاموشی موجی در پلازیوکلازها دیده می‌شود. خاموشی موجی به علت تخریب شبکه‌ی بلورین است [۲۱]، که در پلازیوکلازها و فلدسپات قلیایی به سبب شکستگی ریز میکروسکوپی درون بلورین نامنظم است [۱۳]. بلورهای پلازیوکلاز اسید در اثر دگرسانی با نسبت‌های متفاوتی به سریزیت تجزیه شده‌اند.



شکل ۳ (الف) پورفیروکلاست پوششی با هسته‌ایی از پلازیوکلاز که با بلورهای کوارتز با اندازه‌های متفاوت و پوششی از میکا احاطه شده است. نور XPL، پهنه‌ای دید ۲/۵ میلی‌متر (ب) نمایش ماکل دگرشکلی با انتهای مخروطی. نور XPL، پهنه‌ای دید برابر با یک میلی‌متر (پ) نمایش ماکل دگرشکلی خمیده در بلور پلازیوکلاز. نور XPL، پهنه‌ای دید برابر با ۱/۳ میلی‌متر. (ت) خمش همراه با حالت پلکانی در ماکل پلی‌سنتیک پلازیوکلاز. نور XPL، پهنه‌ای دید برابر با ۱/۳ میلی‌متر (ث) ترکیبی از ماکل آلبیتی و پری‌کلین در بلورهای پلازیوکلاز. نور XPL، پهنه‌ای دید برابر با ۱/۳ میلی‌متر (ج) نمایش ماکل‌های پلازیوکلاز که فقط بخشی از این کانی را فراگرفته است. نور XPL، پهنه‌ای دید برابر با ۱/۳ یک میلی‌متر.

گرانیتوئیدی است. بیوپتیت‌ها دارای پلئوکروئیسم قهقهه‌ای تا قهقهه‌ای پر رنگ و قهقهه‌ای مایل به سبزند (شکل ۴-ث). این ویژگی‌های نوری حاکی از مصنون ماندن این کانی از تاثیر دگرسانی گرمابی است، زیرا عمولًا بیوپتیت پس از دگرسانی گرمابی دستخوش بی‌رنگ شدگی و کاهش شدت پلئوکروئیسم می‌شود [۲۸]. گاهی بیوپتیت‌ها در این سنگ‌ها به کلریت تجزیه شده و در نتیجه اسفن زیادی در راستای کلیواژهای آنها آزاد شده است. همچنین در ساختار هسته-پوشش این کانی همراه با میکای سفید و کوارتز، بخش پوشش را تشکیل می‌دهند که درشت بلورهای فلدوپات را دور زده و خمیده شده‌اند (شکل ۳-الف).

میکای سفید: بلورهای میکای سفید در زیر میکروسکپ به صورت رنگ سبز بسیار کم رنگ بوده و نسبت به میکای موسکویتی دارای بر جستگی بالاتری هستند. بنابراین یک موسکویت فنتزیتی محسوب می‌شوند که با توجه به ویژگیهای سنگ نگاری احتمالاً طی فازهای دگرگونی و دگرشکلی موثر بر ماقما و سنگ ایجاد شده و یا حاصل از تجدید تبلور موسکویت ماقمایی تحت تاثیر فازهای بالا هستند. تبلور دوباره کامل بیوپتیت و مسکوویت که سطح برگوارگی را مشخص می‌کند در شرایط رخساره اپیدوت-آمفیبولیت حاصل می‌شود [۱۳]. این کانیهای برگهای که دارای اندازه‌ای کوچک تا متوسط-اند، همراه با بیوپتیت‌ها دارای سمت یافته‌گی شدیدی بوده و از برگوارگی اصلی سنگ تبعیت می‌کنند و گاه پورفیروکلاستهای پلازیوکلاز و فلدوپات قلیایی را دور می‌زنند. ظاهرًا هرچه شدت دگرشکلی دینامیکی در سنگ بیشتر شود، میزان میکای سفید نیز بالا می‌رود. این افزایش مقدار با کاهش اندازه دانه‌های فلدوپات همراه است [۲۶، ۳۷].

### کانی‌های فرعی

تورمالین: بلورهای تورمالین در نمونه دستی با رنگ کاملاً سیاه و به صورت‌های لکه‌ای، لخته‌ای و یا انبوهی از دانه‌های ریز قابل رویت هستند. این بلورها بیشتر همراه با فلدوپات است و به همین دلیل رابطه‌ی تنگاتنگی با فلدوپات‌ها دارند. در نور طبیعی دارای پلئوکروئیسم سبز متمایل به سیاه (سبز لجنی) تا قهقهه‌ای هستند. این بلورها به صورت رگه‌ای و یا همراه با کانیهای حاصل از دگرسانی دیده نمی‌شوند. این کانی مقاوم در اثر دگرشکلی خرد شده است (شکل ۵-الف و ب).

آلانیت: آلانیت یا اورتیت یک کانی دارای عناصر کمیاب Ce و La است و به صورت بلورهای طویل به موازات برگواره دیده می‌شود. آلانیت یکی از اعضای خانواده‌ی اپیدوت‌هاست که

بزرگی این پورفیروکلاست‌ها گاه کل میدان دید میکروسکوپ را در بر می‌گیرد. نوع پرتیت‌ها از نوع لخته‌ای<sup>۱</sup>، میله‌ای و شعله‌ای<sup>۲</sup> هستند. پرتیت لخته‌ای (شکل ۴-الف) از شواهد دگرشکلی در شرایط تقریباً ماقمایی است [۱۲]، در حالی که پرتیت شعله‌ای (شکل ۴-ب) در سنگ‌های گرانیتی دگرشکل شده در شرایط رخساره شیست سبز حاصل می‌شود [۲۲]. در این شرایط پورفیروکلاست‌های پرتیت از پیرامون به وسیله‌ی کوارتز در برگرفته می‌شوند. گاهی پرتیت‌ها به صورت خرد شده‌اند که فضای بین قطعات خرد شده را کوارتز می‌پوشاند و گاهی دارای ادخال‌های از کوارتند که خاموشی موجی نشان می‌دهند. برخی از پورفیروکلاست‌ها دارای دانه‌های پلازیوکلاز با ماکل آلبیتی و پلی سنتیک هستند (شکل ۴-پ). پورفیروکلاست‌های میکروکلین از پیرامون با ریزدانه‌ها و نودانه‌های کوارتز احاطه می‌شوند. میکروکلین با ماکل مشبك به فراوانی دیده می‌شود که نشانه‌ی تاثیر دگرشکلی دینامیکی در شرایط جامد است [۲۲]. گاه خود میکروکلین هم پرتیتی شده است.

شکستگی‌هایی در مرز و یا در درون بعضی از فلدوپات‌ها مشاهده می‌شود که گاهی با جابه‌جایی همراهند و با دانه‌های کوارتز پر می‌شوند. وجود شکستگی‌های پرشده به وسیله‌ی کوارتز دال بر جریان تقریباً ماقمایی است [۴، ۶، ۱۲، ۲۳، ۲۴]. عموماً پورفیروکلاست‌های خوب گرد شده فاقد این گونه شکستگی‌هاست. بعضی از دانه‌ها دارای شکستگی‌هایی هستند که یا سرتاسر بلور را در برگرفته و یا به شکل گوهایی هستند که گاه فقط با کوارتز و زمانی با کوارتند، میکروکلین، پلازیوکلاز و بیوپتیت پوشیده شده‌اند (شکل ۴-ت).

ریزساختارهای فلدوپات موید شرایط رخساره‌ی آمفیبولیت

تحتانی تا شیست سبز فوقانی هستند [۲۵، ۱۳]

بسیاری از بلورهای فلدوپات قلیایی و پلازیوکلاز به ترتیب به کانی‌های رسی و سریزیت تجزیه شده‌اند که نشانه‌ی تنش‌های زمین ساختی است [۲۶]. فلدوپات‌های قلیایی دارای آثار ضعیفی از تجزیه هستند که در مقایسه با پلازیوکلازها کمتر است.

بیوپتیت: بلورهای بیوپتیت در این توده دارای اندازه‌ای نسبتاً ریز بوده و از نظر شکل اوهدرال تا نیمه شکل دار با ظاهری کشیده‌اند. این بلورها با سمت یافته‌گی موازی با برگواره میلیونیتی اصلی سنگ همراه با کانیهای اصلی دیگر سنگ در متن حضور دارند. این کانی فراوانترین فاز فرومیزین سنگهای

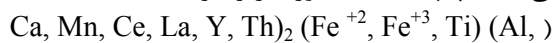
1 - Patchy

2 - Flame

متامکیت ایجاد می‌شود. بمباران یاد شده اتصال یونی را ضعیف کرده و ساختار آلانیت را به هم می‌ریزد و اجازه ورود آب به شبکه بلور را می‌دهد.

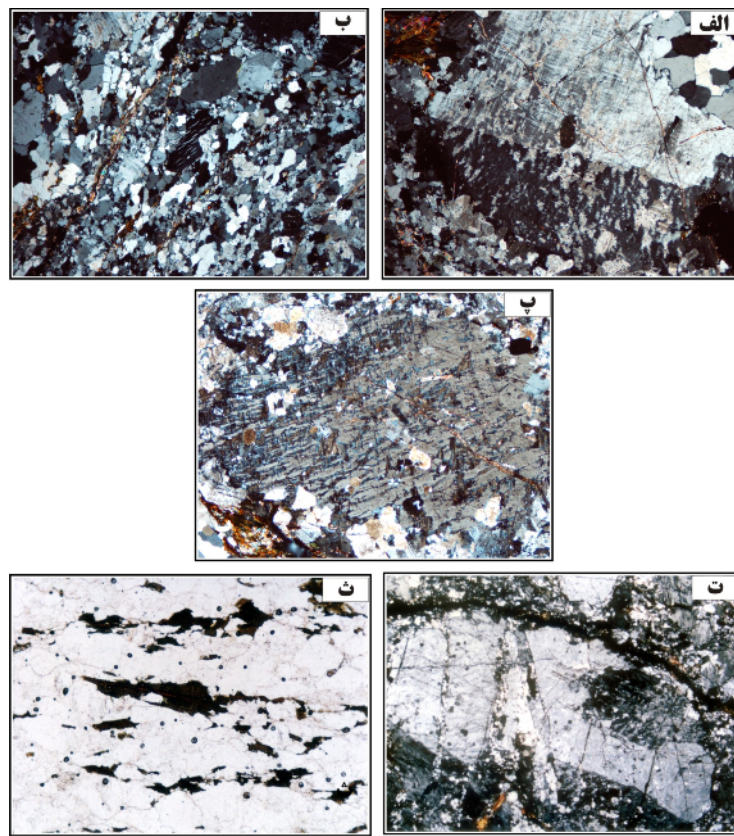
در اثر عوامل جوی قشر خاکی شکل و قهقهه‌ای مایل به قرمز سطح خارجی آلانیت را فرا می‌گیرد که بیشتر شامل هیدروکسید فریک<sub>3</sub>(OH), Fe(OH)<sub>3</sub>, آلومین, Al<sub>2</sub>O<sub>3</sub>, SiO<sub>2</sub> و CO<sub>2</sub> است. این قشر خارجی نسبت به بخش میانی کانی، معمولاً توریم بیشتر و عناصر کمیاب کمتری دارد. درجهٔ متامیکتیزاسیون تاثیر ژرفی روی دوشکستی<sup>۱</sup> و رفرنژانس دارد [۲۹]. به طور کلی آلانیت در شرایط فشار بالا پایدارتر از شرایط فشار پایین است [۳۱]. آلانیت معمولاً در گرانیت‌های متالومینیومی تا کمی پرآلومینیومی متبلور می‌شود [۳۲] و مشخص کنندهٔ فوگاسیته بالای اکسیژن محیط تشکیل است [۳۱].

حاوی عناصر نادر خاکی و عناصر رادیواکتیو است و ترکیب شیمیایی نسبتاً پیچیده‌ای به صورت زیر دارد.

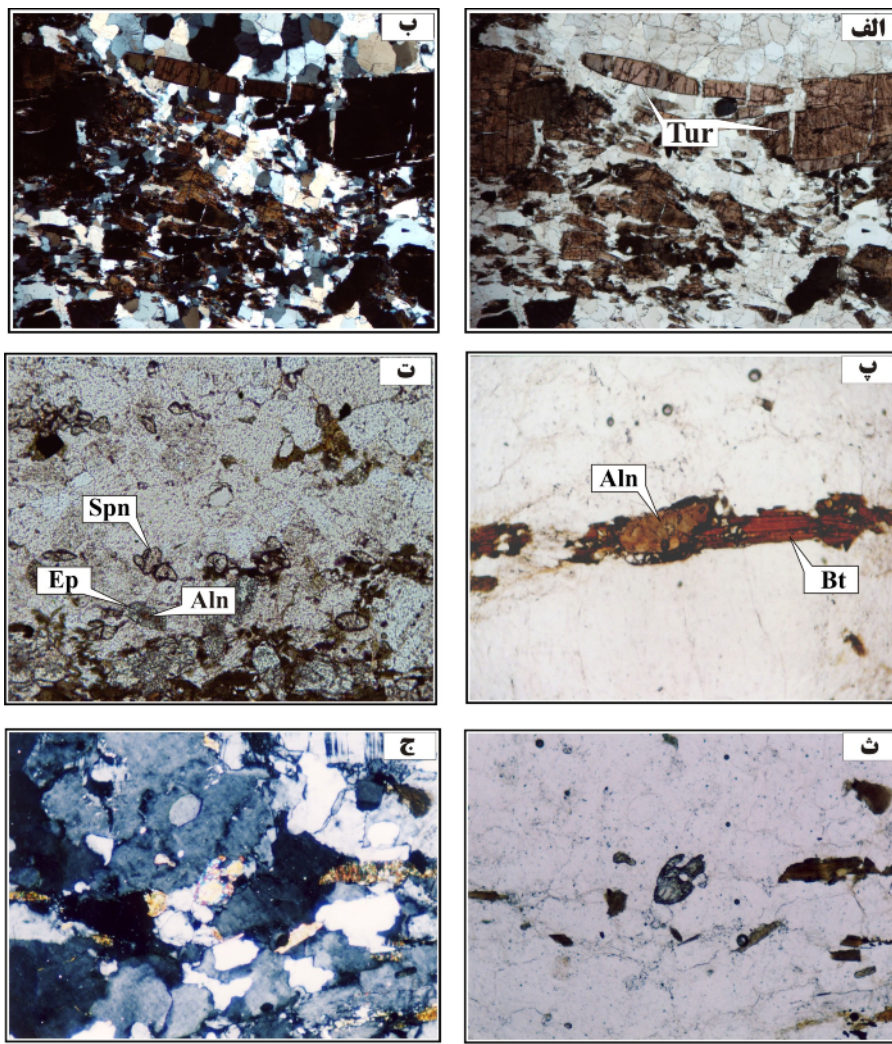


این کانی تنها عضو خانواده اپیدوت است که دارای Fe<sup>+2</sup> به عنوان یکی از سازندگان اصلی است [۲۹]. برخی از درشت بلورهای آلانیت منطقه بندي روشنی نشان می‌دهند. آلانیت که با پلئوکروئیسم قرمز قهقهه‌ای تا قهقهه‌ای تیره تا روشن خود قابل شناسایی است، نسبت به بیوتیتها دارای برجستگی بیشتری بوده و حالت برگه‌ای را نشان نمی‌دهد (شکل ۵-پ و ت).

یکی از نکات جالب توجه در مورد آنها، این است که این کانی با اپیدوت پوشیده می‌شود، و حاکی از اولیه بودن این کانی است [۳۰]. بیشتر سنگ‌های این توده دارای کانی ریز آلانیت هستند (شکل ۵-ت). در اثر بمباران ذرات آلفا، ساختار بلورین این کانی تخریب جزئی حاصل کرده و معمولاً حالت



شکل ۴ (الف) نمایش پرتویت لخته‌ای که به دگرشکلی در شرایط تقریباً ماقمایی اشاره دارد. به بلورهای آلانیت با ماکل پلی‌ستنتیک توجه شود نور XPL، پهنه‌ای دید برابر با یک میلی‌متر (ب) نمایش پرتویت میله‌ای که بیانگر شرایط رخساره شیست سبز است. نور XPL، پهنه‌ای دید برابر است با ۲/۵ میلی‌متر (پ) نمایش پورفیروکلاست میکروکلین پرتویتی. نور XPL، پهنه‌ای دید برابر است با ۱/۳ میلی‌متر (ت) پورفیروکلاست پرتویتی شکسته شده و سپس به علت حضور مذاب در محیط با کوارتز، پلازیوکلаз و میکروکلین پر شده است. نور پلاریزه XPL، پهنه‌ای دید برابر ۲/۵ میلی‌متر (ث) نمایش بیوتیت‌های جهت‌یافته که سبب ایجاد بافت لیپدوپلاستیک در سنگ می‌گردند. نور PPL، پهنه‌ای دید برابر است با یک میلی‌متر.



شکل ۵ (الف) تورمالین تحت تاثیرکشیدگی خرد و تکه‌تکه شده‌اند و رفتار شکننده‌ای نشان می‌دهند PPL، (ب) XPL، پهنه‌ای دید برابر با ۱۱ میلی‌متر پ) جهت‌یافته‌بلور آلانیت و بیوتیت بموازات فولیاسیون اصلی سنگ، نور XPL، پهنه‌ای دید یک میلی‌متر (ت) اپیدوت‌ها دارای هسته‌ای از آلانیت بوده، نور PPL، پهنه‌ای دید یک میلی‌متر (ث) کانی‌های اپیدوت تمایل به تمرکز در باندهای مافیک دارند. XPL، (ج) XPL، پهنه‌ای دید برابر با ۱۱ میلی‌متر.

سنگ به چشم می‌خورد و تمرکز آن در کنار اپیدوت و کانی‌های مافیک است (شکل ۵-پ). شواهد میکروسکوپی دال بر حضور عناصر نادر خاکی در اسفن است که سبب ایجاد دو شکستی غیر طبیعی شده است.

زیرکن: زیرکن نیز به صورت بلورهای ریز و گرد و مدور با هاله‌ای پلئوکروئیک در این سنگ‌ها حضور دارد. گاه به صورت ادخال در درون بیوتیت دیده می‌شود. کانی‌های تورمالین، آلانیت و اپیدوت در این سنگ‌ها به صورت دانه‌های مقاوم است که تحت تاثیر دگرشکلی دینامیک رفتار شکننده و آثار تکه‌تکه شدن و خردشده‌گی را نشان می‌دهند.

اپیدوت: اپیدوت دارای پلئوکروئیسم ضعیف تا آشکار و اندازه‌ی آنها همانند بلورهای بیوتیت است ولی نسبت به بیوتیت‌ها شکل‌دار و در مجاور کوارتز و فلدسپات بی‌شکل و کرمی شکل-اند و غالباً دارای هسته‌ای از آلانیت هستند (شکل‌های ۵-ث و ۵-ج). کانی‌های اپیدوت تمایل به تمرکز در باندهای مافیک دارند. روابط بافتی اپیدوت در برابر بیوتیت و فلدسپات، نبود آثار تجزیه‌ی در این کانی‌ها و تمرکز اپیدوت در لایه‌های مافیک نشان‌دهنده‌ی اینست که اپیدوت در این گرانیت یک کانی ماقمایی است [۳۳]. وجود اپیدوت ماقمایی در این سنگ‌ها دلالت بر بالا‌آمدگی تکتونیکی سریع دارد [۳۳].

اسfen: اسفن به صورت بلورهای شکل‌دار تا نیمه‌شکل‌دار در

و- تبدیل ارتولکلاز به میکروکلین که در دمای حدود ۵۰۰ درجه سانتی گراد صورت می‌گیرد [۲۱]. وجود میکروکلین با ماکل مشبك در بررسی میکروسکوپی مشخص کننده‌ی این است که سنگ تحت تأثیر تنفس در حالت جامد قرار داشته است [۴].

#### ز- خردشده‌گی بلورها

توده‌ی گرانیتی ازنا با توجه به شواهد بافتی و کانی‌شناسی از نوع گنایس Post magmatic -Syn tectonic و یا گرانیت گنایس بهتر است در این گونه موارد از واژه‌ی گنایس دیناموماگماتیک استفاده کنیم [۴].

#### مراجع

- [1] Sylvester A.G., Oertel G., Nelson C.A., Christie J.M., "Papoose Flat pluton: a granitic blister in the Inyo Mnts., California", Bulletin of the Geological Society America 89 (1978) 1205-1219.
- [2] Clark R.G., Lyons J.B., "Petrogenesis of the Kinsman intrusive suite: Peraluminous granitoids of western New Hampshire", Journal of Petrology 2, 7 (1986) 1365-1393.
- [3] Hibbard M.J., "Deformation of incompletely crystallized magma systems: granitic gneisses and their implications", Journal of Geology 95(1986) 543-561.
- [4] Hibbard M.J., "Petrography to petrogenesis", Prentice Hall, New Jersey (1995) 587p .
- [5] Paterson S.R., Vernon. R.H., Zac J., "A review of criteria for the identification of magmatic and tectonic foliation in granitoids", Journal of Structure Geology 11(1989) 394-363.
- [6] Bouchez J.L., Delas C., Gleizes G., Nedelec A., Cuney M., "Submagmatic microfractures in granites", Geology 20 (1992) 35-38
- [7] George R.P., Jr., "Structural petrology of the Olympus ultramafic complex in the Troodos ophiolite, Cyprus", Geological Society of America Bulletin 89 (1978) 845-865.
- [8] Sohieili M., "Geological quadrangle map of the Khorramabad area, No: D 7. 1:250000", Geological Survey of Iran, Tehran, Iran (1992).
- [9] Mohajjal M., Fergusson C.L., Sahandi M.R., "Cretaceous-Tertiary convergence and continental collision, Sanandaj-Sirjan Zone, western Iran", Journal of Asian Earth Sciences 21 (2003) 397-412.

#### برداشت

در بررسی میکروسکوپی دو سری بافت مشاهده می‌شوند که دال بر وجود دگرشکلی دینامیکی حین تبلور و پس از آن است، این دو عبارتند از:

#### شواهد بافتی دال بر حضور مذاب حین دگرشکلی

الف- شکستگی‌های فلدسپات‌های قلیایی پرشده با کوارتز و فلدسپات: در این سنگ‌ها فلدسپات‌های قلیایی و پلازیوکلاز رفتار نیمه شکنا از خود نشان داده، به طوری که در اثر تنفس‌های مکانیکی گاهی شکسته شده و شکستگی حاصل با کوارتز و گاه هر دو کانی کوارتز و فلدسپات قلیایی پر شده است.

این شکستگی‌ها تقریباً مآگمایی در نظر گرفته می‌شوند بدین علت که:

- شکستگی، یک دانه‌ی منفرد را قطع می‌کند و گاهی شکستگی تا دانه‌ی مجاور نیز کشیده می‌شود. آنچه در اینجا مهم است وجود تماس دانه‌ها با مذاب است. غالباً شکستگی‌ها گوهای شکل هستند و دارای دیوارهای موازی هستند.

- فاز کانیایی پرکننده از لحاظ ترکیبی و بلورشناسی از داخل به خارج شکستگی، پیوستگی داشته و این فاز کانیایی معمولاً کوارتز است ولی گاهی فلدسپات و گاهی نیز کوارتز و فلدسپات است. در صورتی که فاز کانیایی کوارتز باشد، حوضچه‌های تک بلورین<sup>۱</sup> کوارتز را در خارج از شکستگی تشکیل می‌دهد.

- ماهیت فاز پرکننده‌ی شکستگی با ترکیب مذاب گرانیتی باقیمانده سازگار است.

ب- وجود پرتیت و لامل‌های جدایشی در فلدسپات پتاسیم مثل پرتیت لخته‌ای

ت- میکروبرش جوش خورده<sup>۲</sup>

#### شواهد بافت میلیونیتی و ادامه دگرشکلی بعد از تبلور

الف- ایجاد خطوارگی قوی توسط کشیدگی کانی‌های دوباره متبلور شده یا جدیداً متبلور شده

ب- وجود پورفیروکلاست‌های پوشش‌دار نامتقارن و ایجاد بافت S-C

ج- انواع ماکل دگرشکلی در بلور پلازیوکلاز

د- خمیدگی<sup>۳</sup> ماکل پلازیوکلاز

ه- تشکیل پرتیت شعله‌ای

1 - Monocrystalline

2 - Healed microbreccia

3 - Kinking

- [22] Pryer L.L., Robin P.-Y.F., "Retrograde metamorphism reactions in deforming granites and the origin of flame perthite", *Journal of Metamorphic Geology* 14 (1995) 645-658.
- [23] Paquet J., François P., Nédélec A., "Effect of partial melting on rock deformation: experimental and natural evidences on rocks of granitic compositions", *Tectonophysics* 78 (1981) 545-565.
- [24] Davidson C., Schmid S.M., Hollister L.S., "Role of melt during deformation in the deep crust", *Terra Nova* 6 (1994) 133-142 .
- [25] Passchier C.W., Trouw R.A.J., "Microtectonics", Springer-Verlag, Berlin, Heidelberg (1996) 289p.
- [26] Conti P., Funedda A., Cerbai N., "Mylonite development in the Hercynian base ment of Sardinia (Italy)", *Journal of Structural Geology* 20 (1998) 121-133.
- [27] Wintsch R.P., "Feldspathization as a result of deformation", *Geological society America Bulltein* 86 (1975) 35-38.
- [28] Deer W., Howie R.A., Zussman J., "An introduction to the rock forming minerals", Longman, London (1966) 549p.
- [29] Deer W.A., Howie R.A., Zussman J., "Epidote group. In: Rock-forming minerals", vol. 1 A, Orthosilicates, 2nd ed., Longman (1992) 85-107.
- [30] Bea F., "Residence of REE, Y, Th and U in granites and crustal protoliths: implications for the geochemistry of crustal melts", *Journal of Petrology* 37 (1996) 521-552.
- [31] Petrik I., Broska I., "Petrology of two granite types from the Tribec' Mountains, Western Carpathians: an example of allanite (+magnetite) versus monazite dichotomy", *Geological Journal* 29 (1994) 59-78.
- [32] Broska I., "REE accessory minerals in the felsic rocks of the Westcarpathians: the distribution, composition and stability", *Acta Mineralogica-Petrographica, Abstract Series* 1, Szeged (2003).
- [33] Zen E., Hammarstrom M., "Magmatic epidote and its petrologic significance", *Geology* 12(1984) 515-518.
- [10] Mohajjal M., Fergusson C.L., "Dextral transpression in Late Cretaceous continental collision, Sanandaj-Sirjan Zone, western Iran", *Journal of Structural Geology* 22 (2000) 1125-1139.
- [11] Shabanian N., Khalili M., Davoudian A.R., "Petrography and geochemistry of mylonitic granite of Ghaleh-Dezh, NW Azna, Sanandaj-Sirjan zone, Iran", *Neues Jahrbuch Fur Mineralogie-Abhandlungen* 185/3 (2009) 233-248.
- [12] Vernon R.H., "A practical guide to rock microstructure", Cambridge university press, United Kingdom (2004) 594p.
- [13] Bozkurt E., Park R.G., "Microstructures of deformed grains in the augen gneisses of southern Menderes Massif (western Turkey) and their tectonic significance", *International Journal of Earth Sciences (Geol Rundsch)* 86(1997) 103-119.
- [14] Simpson C., "Deformation of granitic rocks across the brittle-ductile transition", *Journal of Structure Geology* 7, (1985) 503-511.
- [15] Tullis T.E., Yund R.A., "Hydrolytic weakening of experimentally deformed Westerly granite and Hale albite rock", *Journal of Structure Geology* 2 (1980) 439-451.
- [16] Pryer L.L., "Microstructures in feldspars from a major crustal thrust zone: the Grenville front, Ontario, Canada", *Journal of Structure Geology* 15 (1993) 21-36.
- [17] Smith J.V., "Feldspar minerals", vol. 2. Springer, Berlin Heidelberg, New York (1974) 653p.
- [18] Jensen L.N., Starkey J., "Plagioclase microfabrics in a ductile shear zone from the Jotun nappe, Italy", *Journal of Structure Geology*, 7 (1985) 527-539.
- [19] Smith J.V., Brown W.L., "Feldspar minerals", vol. 1, Springer, Berlin Heidelberg New York (1988) 828p.
- [20] Marshall D.B., Wilson C.J.L., "Recrystallization and peristerite formation in Albite", *Contributions to Mineralogy and Petrology* 57 (1976) 55-69.
- [21] Barker A.J., "Introduction to metamorphic textures and microstructures", Blackie and Son Ltd, Glasgow (1990)170p.